

# **CURSO DE GRADUAÇÃO EM ODONTOLOGIA**

Monografia de Final de Curso

Aluno(a): Carlos Eduardo Araujo Silva

Orientador(a): Prof. Dr. Marcelo Giannini

Ano de Conclusão do Curso: 2008

**TCC 465** 

Assinatura do(a) Orientador(a

Universidade estadual de campinas Paruldade de goontologia de pinacicaba BIBLIOTECA

## Carlos Eduardo Araujo Silva

"Efeito de agentes clareadores de alta concentração ativados por luz halógena e LED/Laser de diodo no esmalte dental submetido a desafio cariogênico in vitro"

Monografia apresentada ao Curso de Odontologia da Faculdade de Odontologia de Piracicaba – UNICAMP, para obtenção do Diploma de Cirurgião Dentista.

Orientador: Prof. Dr. Marcelo Giannini

Piracicaba 2008

UNIVERSIDADE ESTADUAL DE CAMPINAS
FACULDADE DE ODONTOLOGIA DE PIRACICADA
BIBLIOTECA
EIBLIOTECA

A STATE OF THE PARTY OF THE PAR	
Unidade FOP/UNICAMP	
N. Chamada	
V4==4-44	1
Val.	1
Tombo BC	-1

# FICHA CATALOGRAFICA ELABORADA PELA BIBLIOTECA DA FACULDADE DE ODONTOLOGIA DE PIRACICABA

Bibliotecária: Marilene Girello - CRB-8ª. / 6159

Si38e

Silva, Carlos Eduardo Araujo.

Efeito de agentes clareadores de alta concentração ativados por luz halógena e LED/Laser de diodo no esmalte dental submetido a desafio cariogênico in vitro. / Carlos Eduardo Araujo Silva. -- Piracicaba, SP: [s.n.], 2008. 29f.

Orientador: Marcelo Giannini.

Monografia (Graduação) – Universidade Estadual de Campinas, Faculdade de Odontologia de Piracicaba.

1. Esmaite. 2. Cárie. 3. Microscopia de polarização. I.

Giannini, Marcelo. II. Universidade Estadual de Campinas.

Faculdade de Odontología de Piracicaba. III. Título.

(mg/fop)

## Dedicatória

Dedico este trabalho primeiramente aos meus pais, Carlos Ademar da Silva e Maria Jose Araujo Silva, por todo o amor, carinho, compreensão, confiança e total apoio durante toda minha vida e em especial estes anos de faculdade, pois apesar das dificuldades, sempre me encorajaram a seguir em frente e conquistar os meus sonhos. Agradeço a vocês pela paciência, pelo entendimento e por não deixarem com que eu desistisse de tudo o que eu conquistei até agora, acreditando sempre em mim.

Aos meus irmãos, Luis Carlos, Juliana e Carlos Júnior, por estarem sempre presentes na minha vida, me apoiando em todas as minhas decisões e por me aconselharem sempre a ter fé e lutar por tudo, quaisquer que fossem as dificuldades. Agradeço por todos os momentos compartilhados entre nós, tanto os momentos bons quanto os ruins, que só me fizeram crescer.

A minha noiva **Rúbia Barbosa Nascimento**, por sempre estar do meu lado nos momentos mais importantes e felizes de minha vida, e também nos momentos difíceis, quando mais precisei lá estava ela; erguendo minha cabeça e me mostrando um futuro ainda obscuro à meu ver, mas que ela com toda sua prudência, soube me guiar e fazer com que eu conseguisse conquistar meus objetivos. Dedico com todo amor do mundo esse trabalho a mulher que eu amo, minha noiva.

## Agraaecimento Especiai

A DEUS que me protegeu e uuminou em toaos os momentos, e me ensinou a ter paciencia, discernimento, toleráncia e disposição para entender seus sinais e trilhar meu caminho.

## Agradecimentos

À Faculdade de Odontologia de Piracicaba-UNICAMP, à coordenadoria de Graduação em especial à secretária Rosália Beatriz Aniceto Fernandes pela paciência e amizade conquistada durante todo esse tempo que ficará gravado na memória para sempre.

Ao Prof. Dr. Marcelo Giannini pela orientação e por ter acreditado em mim, respondendo aos meus questionamentos e me ensinando da forma mais correta e certa. Obrigado pelos ensinamentos e por poder contar com o senhor a hora que eu quiser, não só um orientador e sim um amigo.

A Pós-Graduanda de doutorado **Cristiane Franco Pinto** por ter-me coorientado como ninguém. Obrigado por ter tido paciência comigo e por ter me ensinado muito.

Aos alunos de Pós-Graduação da área de dentística que me ajudaram na hora do aperto sempre que precisei Giu, Marina, Marcelo, Paulo Vinicius, Murilo e Paulo César muito obrigado à vocês.

A todos os **Funcionários** da faculdade agradeço e repito muito obrigado a todos que participaram dessa conquista.

Aos meus amigos de República que sempre estiveram ao meu lado, com uma garrafa de cerveja para comemorar um dia após o outro(todo dia) os momentos felizes que passamos juntos são eles **Buttman(João Flávio)**,

Pijama(Carlos Henrique) e o Bixo(George Gurgel) amigos que nunca mais esquecerei e que sempre estaram comigo para o que der e vier.

Aos amigos da turma 48 e turma 49 quê deixaram saudade nesse peito aqui, pelas risadas, e incontáveis momentos de diversão.

Aos meus **Pacientes** pela amizade e confiança depositados em mim para que eu pudesse aprender tudo que sei hoje; e por me ensinarem através de suas histórias de vida, de suas angústias e esperanças, qual a verdadeira essência da Odontologia.

Meus sinceros agradecimentos.

# Sumário

Ĭ <sup>*</sup>	ag.
1. Resumo	99
2. Introdução	l ()
3. Materiais e Métodos	11
4. Microscopia de Luz Polarizada1	16
5. Microscopia Eletrônica de Varredura1	6
6. Resultados1	7
7. Discussão2	25
8. Referências Bibliográficas	26
9. Anexos	28

### Resumo

Este estudo analisou a microdureza longitudinal (ML) do esmalte dental com lesões artificiais de cárie (LC), submetido ao tratamento com peróxido de hidrogênio a 35%. O esmalte dental foi submetido à indução de LC, o qual foi avaliado pela determinação da microdureza inicial de superfície e análise em microscopia de luz polarizada e divididos em 6 grupos: G1-Whitness HP Maxx (FGM –WM); G2-W + irradiação com luz halógena (XL 3000 3M ESPE- LH); 3-WM + irradiação com LED/laser (Ultrablue, DMC-LL); G4-Easy White (Delta Med-EW); G5-EW + LH; G6-EW + LL. Os tratamentos clareadores foram realizados nos 1º, 6º e 12º dias, sendo que todos os grupos receberam dentifrício fluoretado (3X/dia) e desmineralização por 2 h/dia (CpH). Os resultados foram analisados pelos testes de Kruskal Wallis e Friedman. A microcopia de luz polarizada analisou a profundidade e a extensão da desmineralização (PED) no esmalte dental (E) após a indução de cárie, clareamento e ciclagem de PH (CpH). A PED foi avaliada em Microscópio de Luz Polarizada (Leica DMLSP) e as mensurações foram feitas 5 medidas na extensão da lesão de cárie com auxílio da ferramenta do software. Os resultados mostraram que o grupo controle apresentou maiores valores de ML para a profundidade de 10 µm quando comparados aos tratamentos clareadores e sem diferença nas demais profundidades estudadas.

Após o desafio cariogênico, todos os tratamentos clareadores independente do tipo de ativação promoveram uma maior desmineralização superficial do esmalte dental. Para o agente clareador EW, a irradiação com LL minimizou a desmineralização na presença de lesão de cárie, enquanto, as diferentes técnicas de clareamento com WM resultaram em similares PED.

## Introdução

O clareamento de dentes vitais com a utilização de peróxidos tornou-se o procedimento estético mais popular realizado em pacientes (Mokhlis *et al.*, 2000). Entretanto, devido ao seu rápido desenvolvimento e comercialização desde sua introdução em 1989 (Haywood & Heymann, 1989), dúvidas surgiram a respeito da sua eficácia e, principalmente de sua segurança em relação aos tecidos orais (Gegauff *et al.*, 1993).

Apesar de contraditórias (Haywood et al., 1990; Murchinson, et al.,1992), foram observadas evidências em microscopia eletrônica de varredura com relação à dissolução e aumento de porosidade da superfície do esmalte tratado com peróxido de carbamida (PC) a 10% (Bitter, 1992; McGuckin et al., 1992; Bitter & Sanders, 1993; Josey et al., 1996; Cavalli et al., 2002) e conseqüente redução da microdureza do esmalte como causa de perda mineral (Shannon et al., 1993, Attin et al., 1997). Agentes clareadores de alta concentração de peróxido de hidrogênio podem produzir maiores mudanças na morfologia e na rugosidade superfícial quando comparados a agentes de baixa concentração (Pinto, C. F. et al., 2004). Além disso, as alterações na superfície do esmalte são proporcionais ao tempo de exposição do agente clareador e também influenciadas pela saúde oral do paciente (Bitter, NC, et.al, 1993 e Bitter NC, 1992).

A perda de mineral ocorre quando o pH do meio encontra-se subsaturado em relação à superfície do esmalte (Featherstone et al., 1983; Feagin et al., 1980). Devido aos relatos existentes sobre a diminuição dos valores de microdureza do esmalte clareado por peróxidos, é suposto que os produtos da degradação do PC apresentam pH menor que o crítico (5,5). A perda de substância mineral na superfície clareada indica que a alteração também pode estar relacionada à composição do agente e aos seus sub-produtos. Os

radicais livres formados a partir do peróxido são instáveis e inespecíficos e podem reagir tanto com as moléculas orgânicas pigmentadas quanto com a matriz inorgânica do esmalte (Seghi & Denry, 1991; Zalkind *et al.*,1996; Perdigão *et al.*, 1998, Cavalli *et al.*, 2001).

Clinicamente, em pacientes de alto risco e atividade de cárie, nos quais já existe desequilíbrio iônico com perda de cálcio e fosfato para o meio bucal, o contato do gel clareador com a superfície do esmalte poderia estimular essa perda mineral. (Attin *et al.*, 1997, Rodrigues *et al.*, 2001, Cimilli *et al.*, 2001, Akal *et al.*, 2001). Entretanto, o processo poderá ser controlado ou revertido com a remineralização tanto pela capacidade remineralizante da saliva como também pelo o uso de dentifrício fluoretado (Arends, 1988).

Portanto a proposta deste estudo foi investigar se a utilização de peróxido de hidrogênio a 35% sem ativação, ativados com LED/Laser ou luz halógena, em dentes com lesões de cárie artificiais em esmalte, pode exacerbar o desenvolvimento dessas lesões durante ciclagens de pH e se esse processo pode ser controlado na presença de saliva artificial e dentifrício fluoretado.

### Materiais e Métodos

#### Seleção e Limpeza dos dentes

Para esse estudo foram utilizados oitenta dentes bovinos. Os dentes foram armazenados em timol 0,1%, durante 30 dias e em seguida limpos com curetas periodontais, taça de borracha, pedra pomes e água em baixa rotação. As raízes foram desprezadas através de secção a 2 mm abaixo da junção amelo-dentinária.

#### Preparo dos blocos de esmalte dental

Para obtenção dos blocos de esmalte bovino foi utilizada cortadeira metalográfica (Buehler® – Isomet) e discos diamantados de dupla face (Buehler® Diamond Wafering Blade nº 11-4243 da série 15 HC). A remoção da fatia central do esmalte foi realizada com obtendo-se fragmentos de 4 X 4 mm. As secções foram feitas sob refrigeração com água destilada e deionizada. Em seguida, a superfície da dentina oposta foi planificada para permitir paralelismo em relação à superfície do esmalte vestibular e possibilitar posterior determinação de microdureza de superfície da estrutura analisada. Para tal, a maior área do esmalte plano foi fixado com cera pegajosa contra a superfície de um disco de resina acrílica pré-fabricado (3cm x 8mm). A dentina foi planificada utilizando-se lixa de granulação 320 (Carbimet ® Paper Discs - nº 30-5108-320 Buehler®) em politriz APL -4 (Arotec®). A espessura do bloco foi verificada utilizando-se paquímetro digital, obtendo-se altura de aproximadamente 3mm.

Após a obtenção dos blocos, a superfície do esmalte foi abrasionada com lixas de óxido de alumínio, nas granulações 320, 600 e 1200, e polidas com pasta diamantada de granulação 1 μm, em politriz elétrica (Arotec®), para possibilitar a leitura da microdureza de superfície do esmalte planificada.

Após a planificação da dentina e polimento do esmalte, as amostras foram aplicadas em aparelho ultra-som (T7-Thorton), contendo água destilada e deionizada, com o objetivo de eliminar as partículas de lixa e de esmalte da superficie a ser analisada.

Seleção dos blocos e determinação de microdureza inicial da superfície do esmalte

A microdureza da superfície do esmalte foi realizada através de 5 impressões na região central do bloco com penetrador tipo KNOOP, com carga estática de 25 gramas e 5 segundos (Fig. 1).

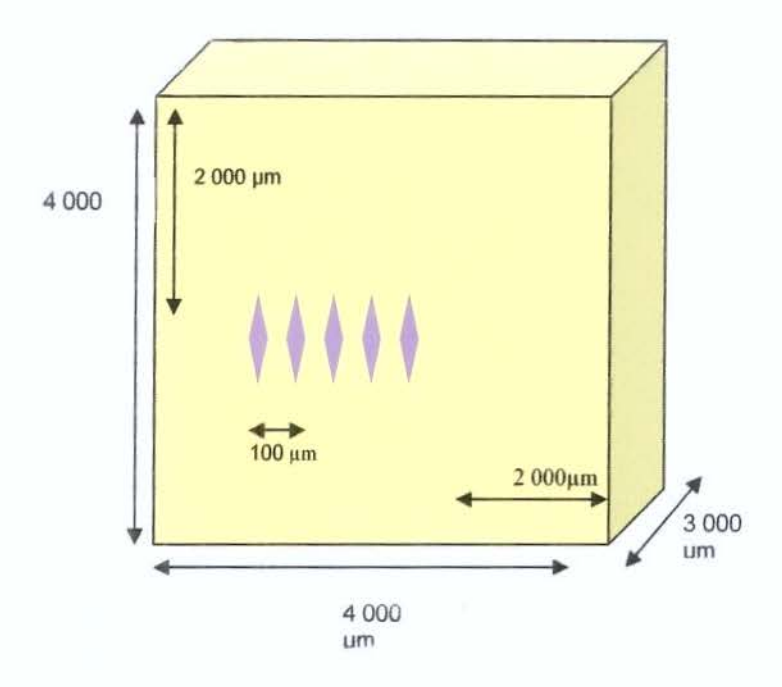


Figura 1: Representação esquemática das impressões que foram realizadas para seleção e determinação da dureza inicial da superfície.

#### Indução de lesão artificial de cárie

Após a determinação da microdureza de superfície inicial, as amostras foram submetidas à solução para provocar lesão artificial de cárie. Para que as lesões de cárie iniciais fossem produzidas, cada amostra foi isolada com esmalte para unhas, deixando exposta apenas a superfície do esmalte. Em seguida, cada amostra foi imersa em 32 ml de solução de 0,05 M ácido acético, 50% saturada com pó de esmalte, pH 5,0 por 16 horas a 37 °C. Nova análise de microdureza (Fig. 2) foi realizada para a verificação da indução de

cárie. As amostras foram divididas aleatoriamente em 7 grupos experimentais (n=10), como apresentados na Tabela 1.

Tabela 1: Grupos experimentais (n=10).

Grupos	Tratamentos				
	1 Peróxido de hidrogênio a 35% (Whitness HP Maxx- FGM)				
8	2 Peróxido de hidrogênio a 35% (Whitness HP Maxx- FGM) + luz halógena				
	3 Peróxido de hidrogênio a 35% (Whitness HP Maxx- FGM) + laser				
- i	4 Peróxido de hidrogênio a 35% (Easy White-Delta Med)				
	5 Peróxido de hidrogênio a 35% (Easy White-Delta Med) + luz halógena				
1	6 Peróxido de hidrogênio a 35% (Easy White-Delta Med) + laser				
10	7 Controle – sem clareamento				

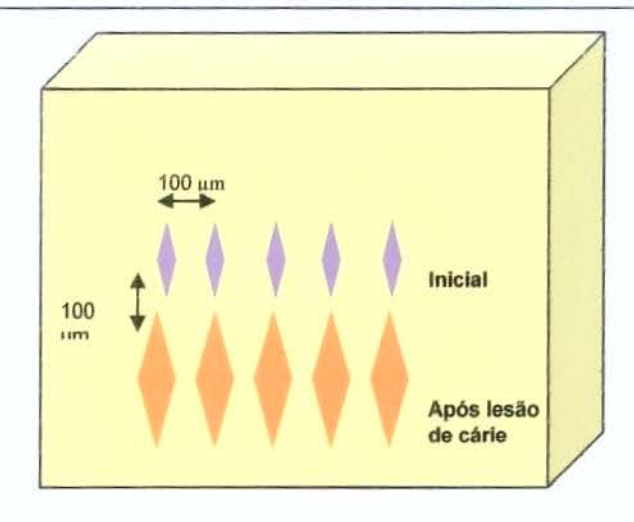


Figura 2: Representação esquemática das impressões que foram realizadas após a lesão de cárie.

### Ciclagem do pH

Realizada a determinação da microdureza de superfície após indução de lesão de cárie, a etapa seguinte compreendeu o tratamento clareador com peróxidos em 3 dias

durante a ciclagem de pH. O regime de ciclagens de pH (White, 1987; Paes Leme et al., 2003) constituiu de quatro etapas diárias durante 12 dias: (1) As amostras receberam tratamento com suspensão (3:1) de dentifrício fluoretado (DF - Sorriso Fresh®, 1100 ppm F, sendo sílica como abrasivo), 3X/dia (7:00h, 12:00h e 23:00h), durante 1 min; (2) Entre os tratamentos, as amostras foram armazenadas em saliva artificial a 37°C. (3) Para simular o desafio cariogênico ocorrido na cavidade bucal, as amostras foram imersas em solução desmineralizante (des) 2 h/dia (12:00h até 14:00h); (4) As amostras receberam o clareamento nos 1°, 6° e 12° dias de ciclagem. O modo de aplicação dos agentes clareadores e como foram ativados estão descritos na Tabela 1. Para os grupos 1 e 4 os materiais foram aplicados durante 10 minutos sem aplicação de luz. Em todos os grupos foram realizadas 2 aplicações dos agentes clareadores por sessão. O grupo 7 ficou mantido em saliva artificial e não foi submetido ao clareamento. Decorrido o período de clareamento, as amostras foram abundantemente lavadas com água destilada e deionizada e imersas em saliva artificial. A des utilizada durante as ciclagens foi trocada no sexto dia. Para a solução remineralizante foi seguido o modelo de Featherstone modificado (Serra & Cury, 1992), trocando-a diariamente.

Tabela 2: Técnica de aplicação dos agentes clareadores.

GRUPOS	LAREADOR	ESPERA	IRRADIAÇÃO	ESPERA	IRRADIAÇÃO	ESPERA	TOTAL
G1	HP Maxx	1 min	30 seg	2 min	30 seg	Até 10 min	10 min.
G2	HP Maxx	1 min	30 seg	2 min	30 seg	Até 10 min	10 min.
G3	HP Maxx	1 min	3min	2 min	3 min	1 min	10 min.
G4	Easy White	1 min	3min	2 min	3 min	1 min	10 min.
G5	Easy White	1 min	30seg	2 min	30seg	Até 10 min	10 min.
G6	Easy White	1 min	3min	2 min	3 min	1 min	10 min.
G7			_				

## Microscopia de Luz Polarizada

Ao final do desafio cariogênico, todas as amostras foram fixadas em placas de acrílico e seccionadas em cortadeira de precisão com disco diamantado de alta concentração na região central da amostra. As hemi-amostras foram incluídas em resina de poliestireno para serem novamente seccionadas serialmente, obtendo-se fatias dentais de aproximadamente 400 µm de espessura. Essas amostras foram lixadas em politriz elétrica e giratória (APL-4 Arotec) sob refrigeração com água com lixas de óxido de alumínio de granulação 600 e 1200 até se obter a espessura final de  $0.1 \pm 0.01$  mm, conferindo-se com um paquímetro digital (Starret 727). As amostras foram embebidas em água, dispostas em lâminas de vidro seladas com lamínulas, e visualizadas em microscópio de luz polarizada (LEICA, DMLSP) com uma câmera acoplada. As imagens captadas em lentes com 20 X de aumento, sendo então, transferidas para o monitor de um computador, através do software Image-Pro Plus ®. Foram realizadas medidas da lesão de cárie, considerando como lesão de cárie a faixa contínua. Utilizou-se uma ferramenta de medida linear do programa de computador para medir a extensão da lesão de cárie em 5 pontos. A média da extensão da lesão de cárie foi realizada para cada amostra e os dados submetidos à ANOVA e teste de Tukey (5%).

## Microscopia Eletrônica de Varredura

A outra metade de cada amostra foram incluídas em resina epóxica (Buehler®) para analisar a morfologia interna e da superfície do esmalte. Para análise da estrutura interna, as amostras foram polidas com lixas de Al<sub>2</sub>O<sub>3</sub> de granulação 320, 600, 1200 e 2000 em politriz elétrica e giratória (APL-4 Arotec) sob refrigeração com água. Para o polimento

final, foram utilizados discos de feltro (Polishing Cloth Buelher nº 40-7618) e pasta de diamante de 6, 3, 1 e ¼ μm. Entre os procedimentos de polimento, as amostras foram colocadas em aparelho de ultrassom (Ultrassonic) com água destilada e deionizada para remoção das partículas de lixa e para não prejudicar o polimento seguinte. Em seguida, as amostras foram lavadas em água destilada e deionizada corrente e foi feita a desidratação das amostras para o esmalte. As amostras foram metalizadas com uma fina camada de ouro (metalizador Balt-tec SCD 050) e observadas em Microscópio Eletrônico de Varredura (JEOL JSM-5600 LV) em 2000 e 5000 X de magnificação. As superfícies foram analisadas de acordo com os padrões de condicionamento promovidos pelo ácido fosfórico. Foram avaliadas a rugosidade superficial, formações de depressões e dissolução das áreas inter e intraprismáticas.

### Resultados

#### Microdureza de superfície

Os resultados da determinação da microdureza de superfície inicial, após indução de lesão de cárie e após a ciclagem de pH são apresentados na tabela e gráfico a seguir:

Tabela 3: Média (desvio padrão) dos grupos nos diferentes tempos de microdureza.

Microdureza de superfície

Grupos	Microdureza inicial	Microdureza pós-cárie	Microdureza pós ciclagem
1 HP	390.71 (42.29) Aa	119.77 (26.53) Ba	96.18 (30.81) Ca
2 HP + LH	391.30 (23.96) Aa	98.91 (33.55) Ba	93.84 (24.60) Ca
3 HP +LL	392.37 (33.99) Aa	115.59 (23.50) Ba	101.84 (23.93) Ca
4 EW	411.86 (35.00) Aa	123.70 (27.55) Ba	94.68 (29.60) Ca
5 EW + LH	399.41 (31.44) Aa	126.46 (27.13) Ba	89.43(22.41) Ca
6 EW + LL	424.76 (23.49) Aa	128.29 (29.81) Ba	93.66 (23.63) Ca
7 Controle	388.91 (24.72) Aa	104.18 (30.17) Ba	87.81 (14.23) Ca

<sup>\*</sup>Letras maiúsculas diferentes indicam diferença estatística entre linhas e letras minúsculas diferentes indicam diferença estatística na coluna. MK=microdureza Knoop, HP= Whiteness HP, EW= Easy White, LH= luz halógena, LL= led/laser.

Os dados foram analisados pelo teste ANOVA em parcela subdividida e

Tukey (anexo 1). Os resultados mostraram que não houve diferença estatística significativa
entre os grupos testados e o controle. A MK pós-ciclagem foi significantemente menor do
que a MK inicial e pós-cárie para todos os grupos como mostra o gráfico 1.

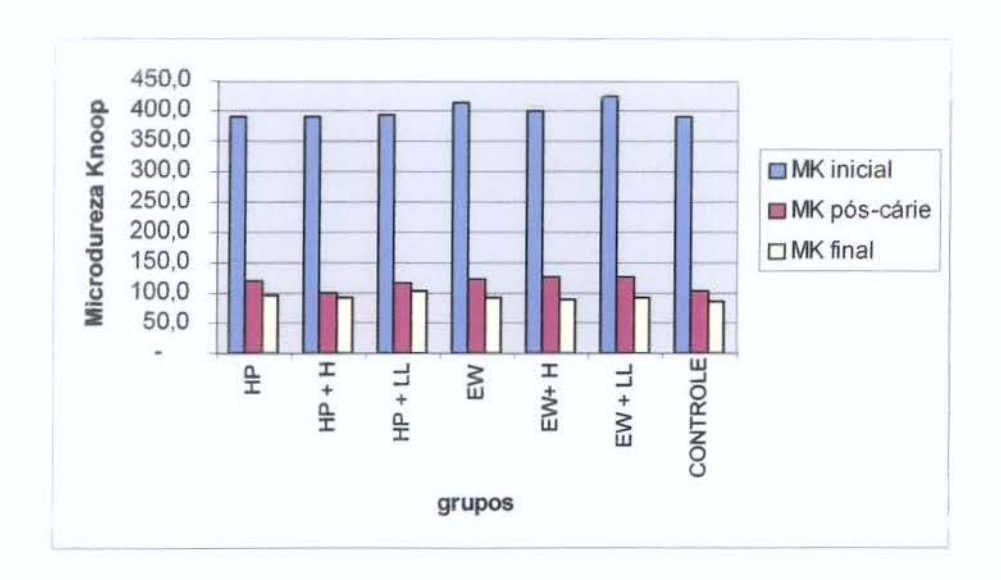
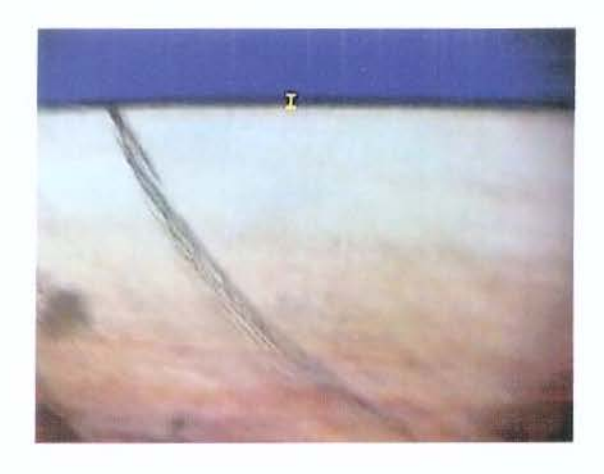


Gráfico 1: Comparação dos resultados entre os grupos da determinação da microdureza de superfície inicial, após indução de lesão de cárie e após a ciclagem de pH. MK=microdureza Knoop, HP= Whiteness HP, EW= Easy White, LH= luz halógena, LL= led/laser.

#### Microscopia de luz polarizada

A análise da profundidade e a extensão da desmineralização (PED) foi realizada em Microscópio de Luz Polarizada (Leica DMLSP) e as mensurações foram feitas em 5 com auxílio da ferramenta do software. Os dados foram analisados através de ANOVA e teste de Tukey (5%). O grupo 6 (4,5± 2,4) apresentou a menor extensão de lesão de cárie sendo diferente estatisticamente dos grupos 4 (30,0±11,8); e 5 (30,0±5,7) e semelhante aos resultados dos grupos 1 (18,4±4,1) 2 (16,1±12,2), 3 (12,9±12,9). Para o agente clareador

EW, a irradiação com LL minimizou a desmineralização na presença de lesão de cárie, enquanto, as diferentes técnicas de clareamento com EW resultaram em similares PED. Segue-se algumas imagens representativas de cada grupo estudado:



G1 = Clareamento com HP MAXX durante 10 minutos sem aplicação de luz.



G2 = Clareamento com HP MAXX durante 10 minutos com luz halógena.

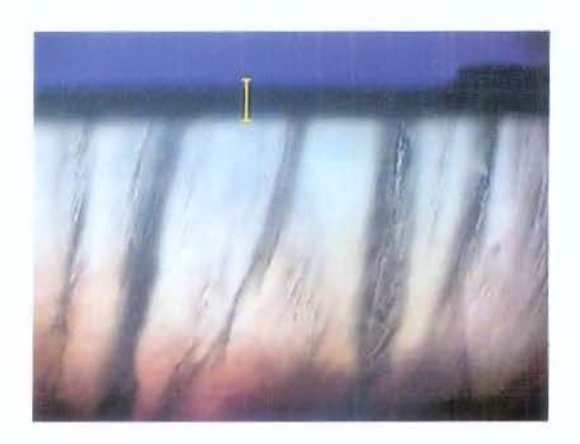
UNIVERSIDADE ESTADUAL DE CAMPINAS FACULDADE DE ODONTOLOGIA DE PIRACICABA BIBLIOTECA



G3 = Clareamento com HP MAXX durante 10 minutos com Led/laser.



G4 = Clareamento com Delta Méd durante 10 minutos sem aplicação de luz.



G5 = Clareamento com Delta Méd durante 10 minutos com luz halógena



G6 = Clareamento com Delta Méd durante 10 minutos com Led/laser.



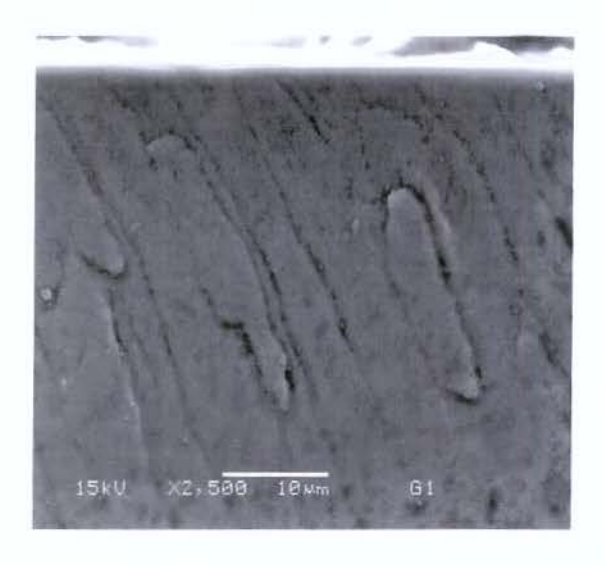
G7= Controle - sem clareamento - manter estocado em sol. RE.

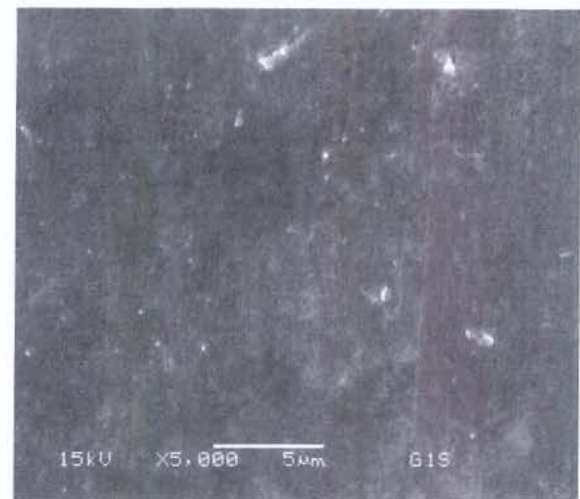
\*Traço amarelo= medida da profundidade da extensão de cárie (PED).

#### Microscopia Eletrônica de Varredura

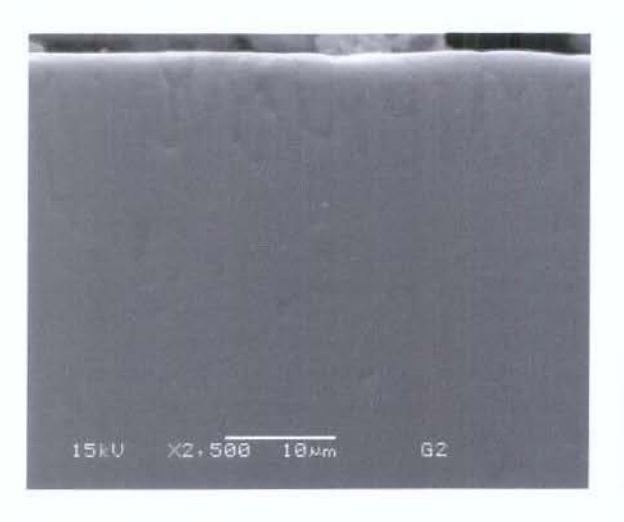
A microscopia eletrônica de varredura, demonstrou que houve uma diferença significativa entre os diferentes grupos, tanto a MEV interna quanto a MEV de superfície, demonstrando áreas de desmineralização causado pelos agentes clareadores na maioria dos grupos, e sendo mais prevalente nos grupos que utilizaram luz halógena como catalisador.

As imagens mostram que os diferentes grupos se comportaram de maneira distinta, porém em alguns grupos não foram encontrados áreas de desmineralização como era de se esperar no grupo controle G 7.

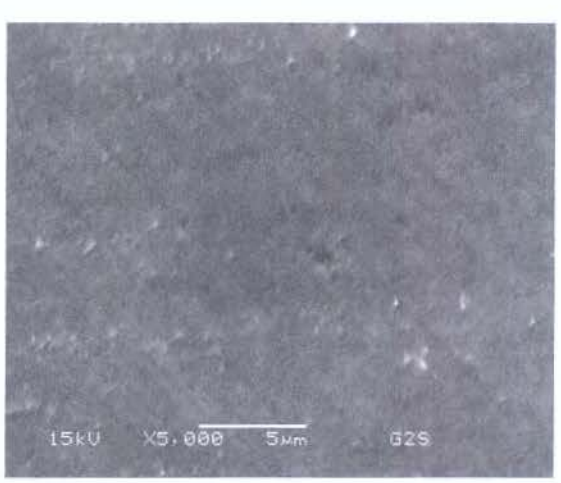




MEV Interna G 1

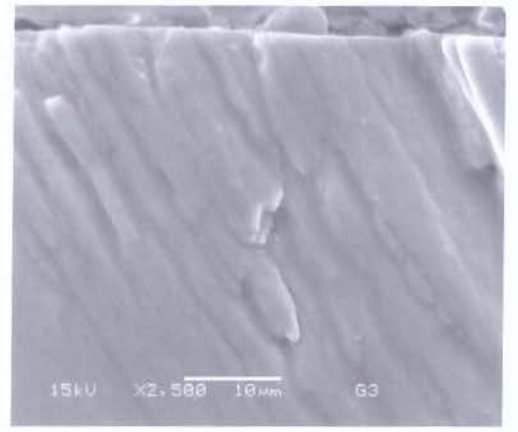


MEV de Superfície G 1

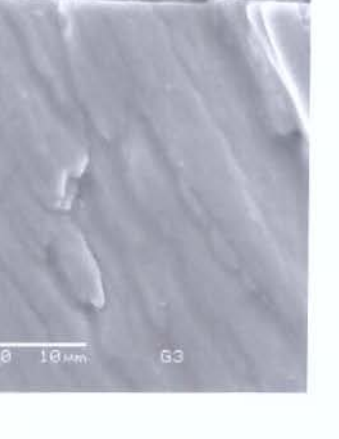


MEV Interna G 2

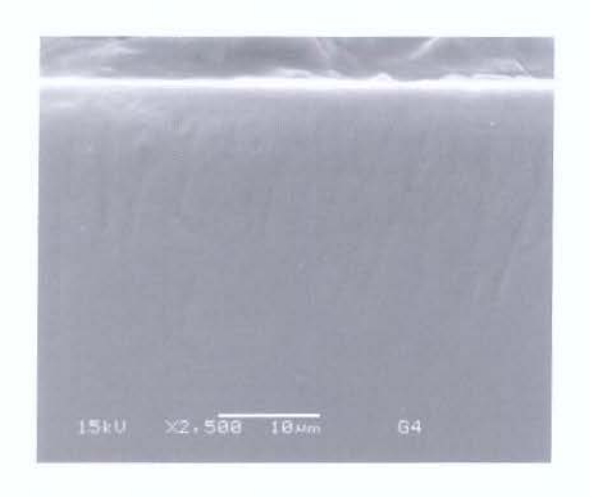
MEV de Superfície G 2



MEV Interna G 3



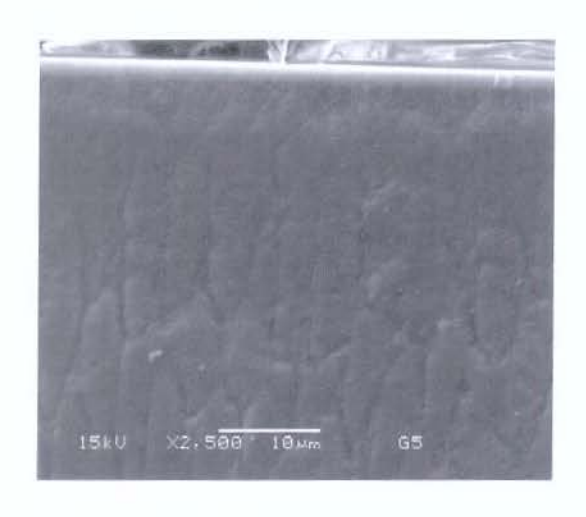
MEV de Superfície G 3



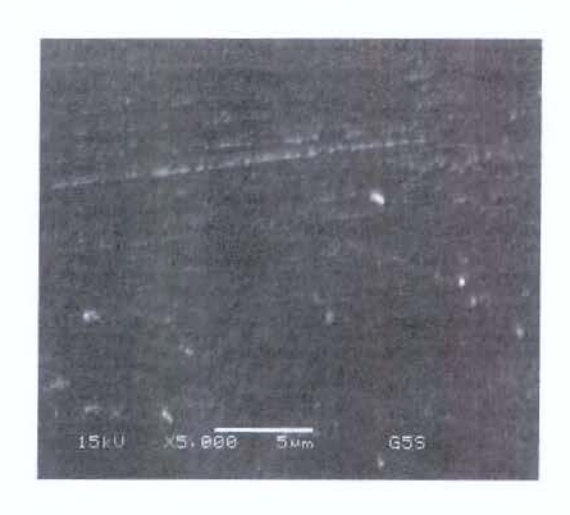
MEV Interna G 4



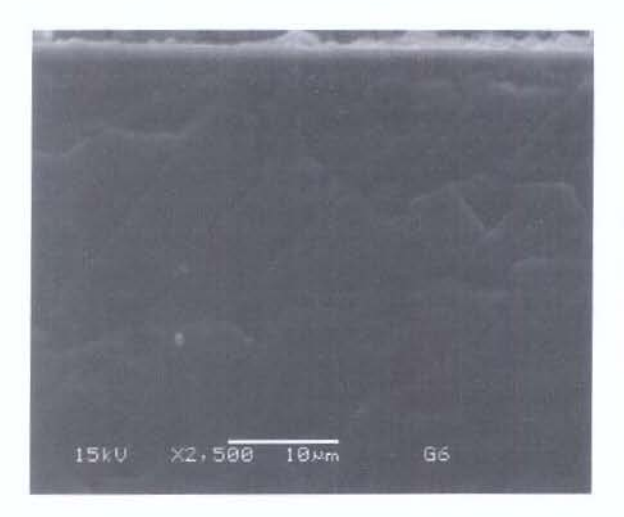
MEV de Superfície G 4



MEV Interna G 5

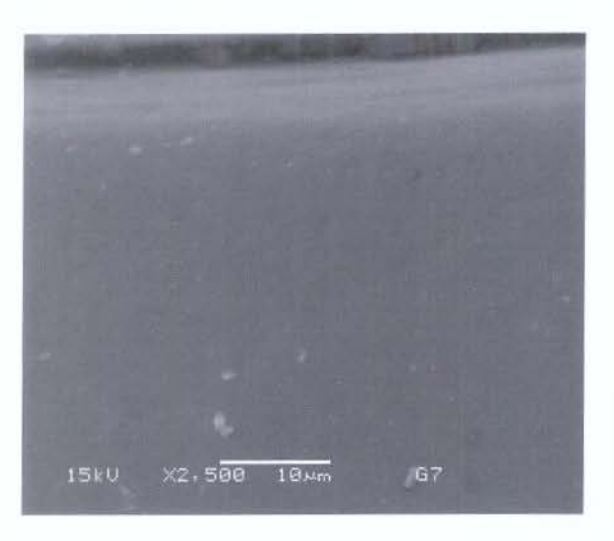


MEV de Superfície G 5

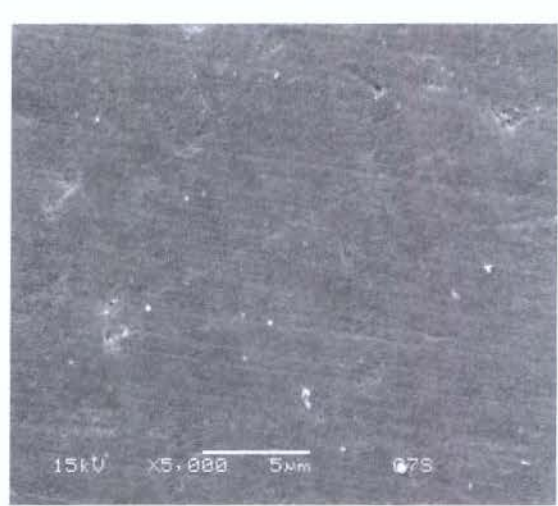


15kU X5,000 5μm G6S

MEV Interna G 6



MEV de Superfície G 6



MEV Interna G 7

MEV de Superfície G 7

## Discussão

Os resultados sugerem que a MK pós-ciclagem não foi influenciada pelos tratamentos clareadores com peróxido de hidrogênio ativado ou não por luz halógena ou led/laser. Podemos observar que o método de indução de cárie foi efetivo quando foram comparados aos valores iniciais. A redução nos valores de microdureza foi de

aproximadamente 70 a 75% dos valores iniciais, além disso, não houve formação de cavitação na superfície do esmalte o que inviabilizaria o prosseguimento do estudo.

Os resultados mostraram que o grupo controle apresentou maiores valores de microdureza longitudinal para a profundidade de 10 µm quando comparados aos tratamentos clareadores e sem diferença nas demais profundidades estudadas. Após o desafio cariogênico, todos os tratamentos clareadores independente do tipo de ativação promoveram uma maior desmineralização superficial do esmalte dental. Para o agente clareador EW, a irradiação com LL minimizou a desmineralização na presença de lesão de cárie, enquanto, as diferentes técnicas de clareamento com WM resultaram em similares PED.

### REFERÊNCIAS BIBLIOGRÁFICAS

Akal N, Over H, Olmez A, Bodur H. Effects of carbamide peroxide containing bleaching agents on the morphology and subsurface hardness of enamel. J Clin Pediatr Dent 2001; 25: 293-296.

Arends J, et al. Effect of various fluorides on enamel structure and chemistry. In: Ekstrand J, Fejerkov O, Silverstone LM. Fluoride in Dentistry. Copenhagen: Munksgaard 1988; 6: 125-149.

Attin T, Kielbassa AM, Schwanenberg E, Hellwig E. Effect of fluoride treatment on remineralization of bleached enamel. J Oral Rehab1997; 24: 282-286.

Bitter NC, Sanders JL. The effect of four bleaching agents on the enamel surface: a scanning electron microscopic study. Quint Inter 1993; 24: 817.

Bitter NC. A scanning electron microscopy study of the effect of bleaching agents on enamel: a preliminary report. J Prosthet Dent 1992; 67: 852-855.

Cavalli V, Arrais CAR, Giannini M, Ambrosano GMB. High-concentrated carbamide peroxide bleaching agents effects on enamel surface. J Oral Rehabil. 2004 Feb;31(2):155-9.

Cavalli V, Reis AF, Giannini M, Ambrosano GMB. The effect of elapsed time following bleaching on enamel bond strength of resin composite. Oper Dent 2001; 26: 597-602

Cimilli H, Pameijer CH. Effect of carbamide peroxide bleaching agents on the physical properties and chemical composition of enamel. Am J Dent 2001; 14:63-66.

Feagin F, Sierra O, Thiradilok S. Effects f fluoride in remineralized human surface enamel on dissolution resistence. J Dent Res 1980; 59: 1016-1021.

Haywood VB, Leech T, Haymann HO, Crumpler D, Bruggers K. Nighguard vital bleaching: effects onenamel suface texture and diffusion. Quint Int 1990; 21: 801-804.

Josey AL, Meyers IA, Romaniuk K, Symons AL. The effect of a vital bleaching technique on enamel surface morphology and the bonding of composite resin to enamel. J Oral Rehab 1996;23:244-250.

McGuckin RS, Babin JF, Meyer BJ. Alterations in human enamel surface morphology following vital bleaching. J Prosthet Dent 1992; 68:754-760.

Murchinson DR, Charlton DG, Moore BK. Carbamide peroxide bleaching: Effects on enamel surface hardness and bonding. Oper Dent 1992; 17: 181-185.

Perdigão J, Francci C, Swift Jr EJ, Ambrose WW, Lopes M. Ultra-morphological study of the interaction of dental adhesives with carbamide peroxide-bleached enamel. Am J Dent 1998; 11: 291-301.

Pinto, C. F.; Cavalli, V.; Oliveira, M. T.; Giannini, M. Peroxide bleaching agent effects on enamel surface microhardness, roughness and morphology. Braz Oral Res, 18(4): 306-11, 2004.

Rodrigues JA, Basting RT, Serra MC, Rodrígues Jr AL. Effects o9f 10% carbamide peroxide bleaching materials on enamel microhardeness. Am J Dent 2001; 14: 67-71.

Shannon H, Spencer P, Gross K, Tira D. Characterization of enamel exposed to 10% carbamide peroxide bleaching agents. Quintessence Int 1993; 24: 39-44.

Zalkind M, Arwaz JR, Goldman A, Rotstein I. Surface morphology changes in human enamel, dentin and cementum, following bleaching: A scanning electron microscopy study. Endod Dent Traumat 1996; 12: 82-88.

#### Anexo 1

The GLM Procedure

Class Level Information

Class	Levels	Values	
grupo	7	1 2 3 4 5 6 7	
amostra	10	1 2 3 4 5 6 7 8 9 1	0
tempo	3	1 2 3	

Number of observations 210

Dependent Variable: dureza

Source		DF	Sum Squa	of	Mean Squ	are F	Value	Pr > F
Model		83	4159321.	446	50112.	307	78.78	<.0001
Error		126	80150.	258	636.	113		
Corrected Total		209	4239471.	704				
	R-Square	Coeff	Var	Root N	MSE dur	eza Mean		
	0.981094	12.3	9294	25.22	128	203.5133		
Source		DF	Type I	SS	Mean Squa	are F	Value	Pr > F
grupo grupo*amostra tempo		6 63 2	11047. 71418. 4068050.	520	1841.2 1133.6 2034025.0	627	2.89 1.78 1.78	0.0112 0.0031 <.0001
grupo*tempo		12	8805.		733.		1.15	0.3239

Tests of Hypotheses Using the Type III MS for grupo\*amostra as an Error Term

Source	DF	Type III SS	Mean Square	F Value	Pr > F
grupo	6	11047.65777	1841.27629	1.62	0.1552

Tukey's Studentized Range (HSD) Test for dureza

NOTE: This test controls the Type I experimentwise error rate, but it generally has a higher

Type II error rate than REGWQ

Alpha 0.05
Error Degrees of Freedom 63
Error Mean Square 1133.627
Critical Value of Studentized Range 3.39458
Minimum Significant Difference 13.661

Means with the same letter are not significantly different.

Tukey Grouping Mean N tempo

A	399.907	70	1
В	116.707	70	2
C	93.927	70	3

Level of	Level of		dur	eza
grupo	tempo	N	Mean	Std Dev
1	1	10	390.718000	42.2965617
1	2	10	119.778000	26.5347918
1	2	10	96.180000	30.8114355
2	1	10	391.304000	23.9690542
2	2	10	98.919000	33.5553905
2	3	10	93.849000	24.6065991
	1	10	392.373000	33.9927894
3	2	10	115.596000	23.5019116
3	3	10	101.846000	23.9397212
4	1	10	411.867000	35.0008381
4		10	123.707000	27.5538475
4	2 3 1	10	94.686000	29.6000170
5	1	10	399.410000	31.4428232
5	2	10	126.464000	27.1316040
5	3	10	89.439000	22.4157387
6	1	10	424.762000	23.4940824
6	2	10	128.294000	29.8144153
6	3	10	93.668000	23.6397165
7	1	10	388.913000	24.7221777
7	2	10	104.188000	30.1724090
7	3	10	87.819000	14.2362132

# The UNIVARIATE Procedure Variable: r

#### Moments

N	210	Sum Weights	210
Mean	0	Sum Observations	0
Std Deviation	19.5830043	Variance	383.494058
Skewness	0.3633409	Kurtosis	-0.1044036
Uncorrected SS	80150.2581	Corrected SS	80150.2581
Coeff Variation	200200000000000000000000000000000000000	Std Error Mean	1.35135568

#### Basic Statistical Measures

Location	Variability
----------	-------------

Mean	0.00000	Std Deviation	19.58300
Median	-1.94967	Variance	383.49406
Mode		Range	101.55100
		Interquartile Range	25.46367

### Tests for Location: Mu0=0

Test	-Statistic-		p Value		
Student's t	t	0	Pr >  t	1.0000	
Sian	M	-8	Pr >=  M	0.3006	
Signed Rank	S	-471.5	Pr >=  S	0.5940	

#### Tests for Normality

Test	Statistic		p Value		
Shapiro-Wilk	W	0.987562	Pr	< W	0.0638
Kolmogorov-Smirnov	D	0.053723	Pr	> D	0.1430

Quantiles (Definition 5)

Quantile Estimate

100% Max 56.77200

99% 46.85600

95% 37.28067

17:57 Tuesday, April 25, 2006

10

The UNIVARIATE Procedure Variable: r

Quantiles (Definition 5)

Quantile	Estimate
90%	25.98250
75% Q3	11.89033
50% Median	-1.94967
25% O1	-13.57333
10%	-24.09050
5%	-30.16133
1%	-38.71033
0% Min	-44.77900

#### Extreme Observations

st	Highes	t	Lowest	
Obs	Value	Obs	Value	
7 162 158 48 146	43.0407 45.0607 46.8560 50.4783 56.7720	126 168 93 41 182	-44.7790 -42.6260 -38.7103 -36.6183 -33.8030	

17:57 Tuesday, April 25, 2006

11

# The UNIVARIATE Procedure Variable: r

Stem	Leaf	#	Boxplot
5	7	1	0
5	0	1	0
4	57	2	I
4	01223	5	I
3	679	3	1
3	112	3	I
2	555556677999	12	
2	12223344	8	
1	5555567778889	13	
1	0000011123444	13	++
0	555666666778899	15	] [
0	011111112222233344444	21	+
-0	44443333332222222111000	23	* <b>*</b>
-0	9988888777776666666555	23	1 1
- <b>1</b>	4444444442222222111100	22	++
-1	9999887655	10	4
-2	4444333332221100	16	J
-2	9998765	7	1
-3	42111000	8	1

-3 97 2 4 -4 3 1 1 1 -4 5 1 1 1 Multiply Stem.Leaf by 10\*\*+1

17:57 Tuesday, April 25, 2006

12

# The UNIVARIATE Procedure Variable: r

